

БІОФІЗИКА СКЛАДНИХ СИСТЕМ

УДК 577.3

МАТЕМАТИЧНЕ МОДЕЛЮВАННЯ ЕФЕКТІВ ІН'ЄКЦІЙ ГАМК У МЕДУЛЯРНІ НО-СИНТЕЗУЮЧІ КАРДІОВАСКУЛЯРНІ НЕЙРОНИ ЩУРІВ

Н.В. Радченко, Л.М. Шаповал, Т.Л. Давидовська, Ю.І. Прилуцький

Київський національний університет імені Тараса Шевченка, біологічний факультет, кафедра біофізики,

бул. Володимирська, 64, 01033 Київ

Надійшла до редакції 11 січня 2007 р.

Досліджено часову залежність змін системного артеріального тиску після ін'єкцій γ -аміномасляної кислоти (ГАМК) у кардіоваскулярні нейрони довгастого мозку щурів.

КЛЮЧОВІ СЛОВА: довгастий мозок щурів, NO-синтезуючі кардіоваскулярні нейрони, артеріальний тиск, моделювання.

Оксид азоту за два останні десятиліття був виявлений і вивчався практично у всіх фізіологічних системах організму, які координуються мозком, включаючи систему кровообігу. До кардіоваскулярних NO-синтезуючих нейронів відносять ядро солітарного тракту, обопільне ядро, парамедіанне ретикулярне ядро та латеральне ретикулярне ядро [1-4]. Ядро солітарного тракту та парамедіанне ретикулярне ядро - є областями входу аферентних нейронів. Латеральне ретикулярне ядро та обопільне ядро - області виходу еферентних нейронів до серця і судин. Використання методу введення гена ендотеліальної NO-сінтази в ядро солітарного тракту дало змогу отримати дані про те, що підвищення експресії ендотеліальної NO-сінтази у ядрі солітарного тракту щурів, які не спали, супроводжувалося зниженням рівня системного артеріального тиску (CAT), частоти серцевих скорочень (ЧСС) і симпатичної нервової активності внаслідок збільшення вивільнення γ -аміномасляної кислоти (ГАМК), як з одного з основних гальмівних медіаторів центральної нервової системи (ЦНС) [5]. Ці дані постулюють залежність ефектів ГАМК від рівня продукції оксиду NO-синтезуючими нейронами. У рамках модельного опису отриманих експериментальних даних нами вирішувалися такі два головні завдання. По-перше, ми спробували описати часові залежності системного артеріального тиску щурів після введення досліджуваної речовини у кардіоваскулярні нейрони довгастого мозку за допомогою універсальної математичної функції і, по-друге, надати фізичного тлумачення параметрам цієї модельної задачі.

МАТЕРІАЛИ І МЕТОДИ

У гострих експериментах використовували щурів масою 290-350 г, наркотизованих уретаном (1,7 г/кг, внутрішньоочеревинно). У сонну артерію вводили канюлю для вимірювання CAT за допомогою тензодатчика гемодинамічної установки ("Мік-ромед", Угорщина). Довгастий мозок оголяли після фіксування голови щура в стереотаксичному приладі СЕЖ-3, модифікованому для роботи на дрібних тваринах. Стереотаксичні координати досліджуваних ядер довгастого мозку - ядро солітарного тракту (NTS), обопільне ядро (AMB), парамедіанне ретикулярне ядро (PMn) і латеральне ретикулярне ядро (LRN) визначали за атласом [6]. Для мікроін'єкцій використовували мікрошприц з мікрометричним твінтом. У популяції нейронів досліджуваних медуллярних ядер вводили ГАМК (38,8-194,0 нмоль). Після закінчення експерименту тварину декапітували. Довгастий мозок видаляли і фіксували у 10%-му розчині формаліну. Для гістологічної верифікації зони введення препаратів виготовляли зрізи мозку товщиною 60 мкм. Статистичний аналіз результатів вимірювань проводили з використанням критерію Стьюдента за допомогою стандартної комп'ютерної програми. Як статистично значимі розглядалися відміні зі значенням $P<0,05$. Моделювання проводилося як аналітично, так і чисельно з використанням пакету програми "Математика".

РЕЗУЛЬТАТИ ТА ЇХ ОБГОВОРЕННЯ

У попередніх наших дослідженнях було показано [7], що у щурів з нормальним тиском унілатеральні ін'єкції ГАМК у дослідженому діапазоні доз у популяції нейронів дорсомедіального відділу довгастого мозку, які залучені в систему медуллярного кардіоваскулярного контролю, супроводжувалися розвитком переважно гіпотензивних реакцій системного артеріального тиску. Так, введення ГАМК (87 нмоль) у популяції нейронів ядро солітарного тракту спричиняло зниження рівня CAT у середньому на 20,3 % ($n=8$, $P<0,01$) через 5 с після ін'єкції; через 10 с відмічалося максимальне його зниження, яке становило 24,4 % ($P<0,01$). Значне зменшення цього показника спостерігалося протягом перших 20-40 с, після чого він поступово повертається до вихідного рівня протягом 2-3 хв.

Ін'єкції ГАМК через 5 с після введення в обопільне ядро спричиняли зниження рівня системного артеріального тиску від 90,0+1,4 до 69,3 мм рт.ст. $\pm 5,7$ мм рт.ст., тобто на 23 % (n=8, P<0,02). Максимальне зниження системного артеріального тиску на 30,4% (P<0,001) спостерігалося через 10 с. Через 20 с цей показник знижувався на 29,1% (P<0,01) і становив 63,8 мм рт.ст. $\pm 3,6$ мм рт.ст. Тривалість реакції в середньому складала 4 хв. Через 5 с після введення ГАМК у парамедіанне ретикулярне ядро рівень системного артеріального тиску знизився на 17 % (n=8, P<0,01), через 10 с на 28 % (P<0,01), через 20 с на 24,2% (P<0,02). Гіпотензивна реакція САТ тривала в середньому 4 хв.

Введення ГАМК у латеральне ретикулярне ядро супроводжувалося через 5 с зниженням системного артеріального тиску на 20,7 % (n=8, P<0,02). Максимальне зниження цього показника, яке відмічалося через 20 с після ін'єкції, становило 25,6 % (P<0,01). Через 30 с зниження САТ становило 24,1 % (P<0,02). Тривалість гіпотензивної реакції складала в середньому 5 хв.

У цій роботі було проведено математичне моделювання ефектів ін'єкцій ГАМК у медулярні NO-синтезуючі кардіоваскулярні нейрони щурів. Детальний чисельний аналіз експериментальних даних в рамках розв'язання наших завдань засвідчив, що вони задовільно можуть бути відтворені за допомогою квадратичного поліному (параболічної залежності) "тиск (P) – час (t)":

$$P(t) = A + Bt + Ct^2.$$

З математичної точки зору, ця функція досягає екстремуму (мінімуму чи максимуму) у точці $t_0 = -B/2C$:

$$P_{ext}(t_0) = A - B^2/4C.$$

Параметри A, B і C мають такий фізичний зміст: параметр A відповідає значенню величини P (у нашому випадку системного артеріального тиску) у початковий момент часу t=0, тобто A=P(0); параметр B описує швидкість зміни величини P у початковий момент часу t=0, тобто B=P'(0). Нарешті, параметр C є функцією параметрів A і B, а також екстремального значення величини P: C = B²/4(A - P_{ext}).

Розраховані часові залежності системного артеріального тиску щурів після введення досліджуваної речовини у різні ядра їх головного мозку для відповідних значень модельних параметрів наведені на рис. 1. Як бачимо, часова залежність системного артеріального тиску щурів після введення досліджуваних речовин у кардіоваскулярні нейрони довгастого мозку має однакову тенденцію, а саме системний артеріальний тиск щурів після введення ГАМК у різні ядра головного мозку спочатку спадає з часом до величини P_{ext}, а потім зростає за параболічним законом. Значення шуканих параметрів A, B, P_{ext} і C для усіх розглядуваних випадків лежать відповідно у таких межах: A=(78-89) мм.рт.ст.; B=(-2,6-1,3) мм.рт.ст./с; P_{ext}=(57-65) мм.рт.ст. і C=(0,03-0,07) мм.рт.ст./с². Звертає на себе увагу той факт, що у випадках ін'єкції ГАМК в парамедіанне ретикулярне ядро і латеральне ретикулярне ядро мінімальні значення системного артеріального тиску щурів практично співпадають: P_{ext}≈58 мм.рт.ст. У випадках ін'єкції ГАМК в ядро солітарного тракту і обопільне ядро ці значення також суттєво не відрізняються. Це може свідчити про те, що в даних дослідженнях ін'єкції ГАМК у ці ядра довгастого мозку щурів мають подібний характер впливу на системний артеріальний тиск. Окрім того, швидкості зниження і зростання системного артеріального тиску щурів після введення ГАМК у різні ядра їх головного мозку є різними: найшвидше зниження і зростання системного артеріального тиску щурів спостерігається після ін'єкції ГАМК в латеральне ретикулярне ядро довгастого мозку. У випадках ін'єкції ГАМК в обопільне та парамедіанне ядро довгастого мозку щурів ці значення швидкості практично одинакові.

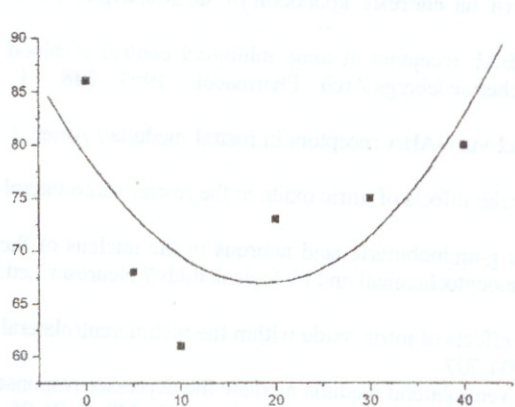
ВИСНОВКИ

Відомо, що ГАМК є одним з основних гальмівних медіаторів ЦНС. У довгастому мозку щурів виявлено велику кількість ГАМКергічних нейронів і специфічних рецепторів ГАМК, включених у тонічний гальмівний контроль системи кровообігу [8-13]. Традиційно вважається, що в основі гальмівної дії ГАМК лежить або гіперполаризуючий вплив на постсинаптичну мембрну нейрона, або деполяризуючий вплив на аксонну термінал (пресинаптичне гальмування). У цій ситуації логічним є зниження рівня САТ після мікроін'єкції ГАМК у бульбарні симпато-активуючі кардіоваскулярні нейрони: гіперполаризація постсинаптичної мембрани симпатоактивуючого нейрона пригнічує функціональну активність останнього, що призводить до послаблення низхідних симпатоактивуючих впливів до серця і судин. Та обставина, що збільшення експресії eNOS у NTS щурів з нормальним артеріальним тиском і які не сплять [5], а також у RVLМ у щурів зі спонтанною гіpertenzією [14] супроводжувалося зниженням рівня САТ, ЧСС і симпатичної нервової активності внаслідок збільшення вивільнення ГАМК, свідчить про те, що NO може стимулювати синтез і вивільнення ГАМК у ЦНС. Це стало підставою припустити, що ефекти ГАМК можуть бути реалізовані за участю NO.

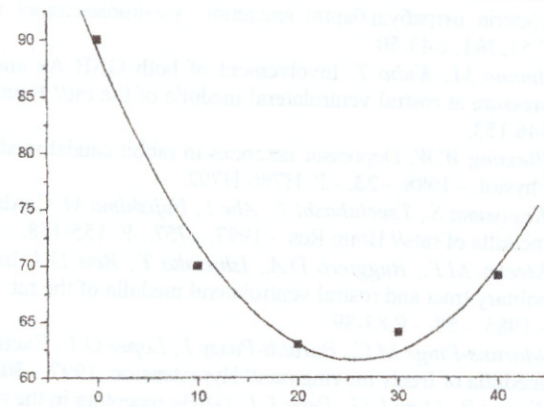
Нарешті, проведений нами модельні дослідження експериментальних даних з вивчення часової залежності системного артеріального тиску щурів після введення досліджуваної речовини у різні ядра головного мозку засвідчили, що теоретичні криві параболічного типу в цілому добре відтворюють ці

Математичне моделювання ефектів ін'єкцій ГАМК...

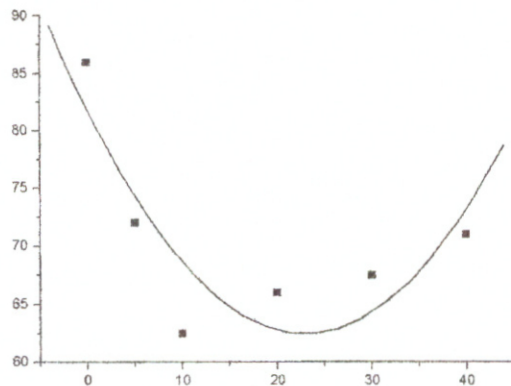
експериментальні результати. Це дає підставу говорити про універсальність параболічної функціональної залежності "тиск (P) – час (t)" у цьому випадку.



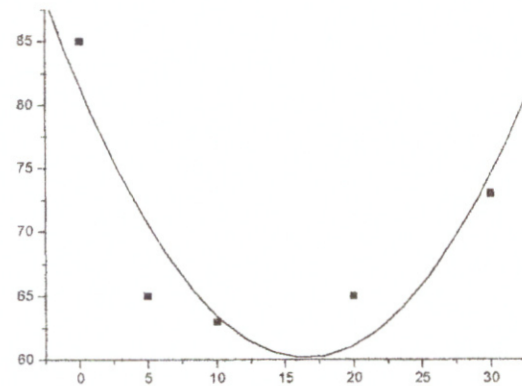
а) моделювання змін САТ після ін'єкції ГАМК в ядро солітарного тракту довгастого мозку шурів: $A=P(0)=78.89$; $B=P'(0)=-1.29$; $C=0.03$; $t_0=21.5$; $P_{ext}(t_0)=65.02$



б) моделювання змін САТ після ін'єкції ГАМК в обопільне ядро довгастого мозку шурів:
 $A=P(0)=89.08$; $B=P'(0)=-2.13$; $C=0.04$; $t_0=26.63$;
 $P_{ext}(t_0)=60.72$



в) моделювання змін САТ після ін'єкції ГАМК в параметедіанне ядро довгастого мозку шурів:
 $A=P(0)=81.79$; $B=P'(0)=-1.68$; $C=0.03$; $t_0=28$;
 $P_{ext}(t_0)=58.27$



г) моделювання змін САТ після ін'єкції ГАМК в латеральне ретикулярне ядро довгастого мозку шурів: $A=P(0)=81.43$; $B=P'(0)=-2.58$; $C=0.07$;
 $t_0=18.43$; $P_{ext}(t_0)=57.66$

Рис. 1. Розрахована (суцільна крива) часова залежність системного артеріального тиску шурів після введення ГАМК у медуллярні кардіоваскулярні ядра: а) - ядро солітарного тракту; б) - обопільне ядро; в) - параметедіанне ядро; г) - латеральне ретикулярне ядро. Вісь Y – тиск (мм.рт.ст.); вісь X – час (с).

СПИСОК ЛІТЕРАТУРИ

1. De Vente J., Hopkins D.A., Maijerink-Van L.M. et al. Distribution of nitric oxide synthase and nitric oxide-receptive cyclic GMP-producing structures in the rat brain// Neuroscience. - 1998. - 87. - P. 207-241.
2. Gai W.P., Messenger J.P., Yu Y.H. et al. Nitric oxide-synthesizing neurons in the central nervous subnucleus of the nucleus tractus solitarius provide a major innervation of the rostral nucleus ambiguus in the rabbit// J.Comp.Neurol. - 1995.-357. - P. 348-361.
3. Vincent S.R. Kimura H. Histochemical mapping of nitric oxide synthase in the rat brain// Neuroscience. -1992. -46.- P. 755-784.
4. Zanzinger J., Czachurski J., Seller H. Effects of nitric oxide on sympathetic baroreflex transmission in the nucleus tractus solitarii and caudal ventrolateral medulla in cats // Ibid. - 1995. - 197. - P. 199-202.
5. Sakai K., Hirooka Y., Matsuo I. et al. Overexpression of eNOS in NTS causes hypotension and bradycardia in vivo// Hypertension. - 2000.-36. - P. 1023-1028.

6. Paxinos G., Watson C. The rat brain in stereotaxic coordinates. - N.J., Academic Press. - 1982. - 83 p.
7. Л.М.Шаповал, В.Ф.Сагач, С.С.Побігайло, Л.Г.Степаненко, Н.В.Єрмолінська Роль оксиду азоту в реалізації ефектів інтраабульбарно введені γ -аміномасляної кислоти на систему кровообігу// Фізiol. журн., 2005, Т.51, №1, с.43-50
8. Amano M., Kubo T. Involvement of both GABA_A and GABA_B receptors in tonic inhibitory control of blood pressure at rostral ventrolateral medulla of the rat// Naunyn Schmiedebergs Arch. Pharmacol. - 1993. - **348**. - P. 146-153.
9. Blessing W.W. Depressor neurones in rabbit caudal medulla act via GABA receptors in rostral medulla// Amer. J. Physiol. - 1988. - **255**. - P. H786-H792.
10. Kagiyama S., Tsuchihashi T., Abe I., Fujishima M. Cardiovascular effects of nitric oxide in the rostral ventrolateral medulla of rats// Brain Res. - 1997. - **757**. - P. 155-158.
11. Meeley M.P., Ruggiero D.A., Ishitsuka T., Reis D.J. Intrinsic g-aminobutyric acid neurons in the nucleus of the solitary tract and rostral ventrolateral medulla of the rat: immunocytochemical and biological study// Neurosci. Lett. - 1985. - **58**. - P.83-89.
12. Martins-Pinge M.C., Baraldo-Passy I., Lopes O.U. Excitatory effects of nitric oxide within the rostral ventrolateral medulla of freely moving rats// Hypertension. 1997. - **30**. - P. 704-707.
13. Ying J.P., Qian L.G., Peng L.L. GABA receptors in the rostral ventrolateral medulla mediate the depressor response induced by stimulation of the greater aplanchnic nerve afferent fibres in rats// Neurosci. Lett. - 1998. - **249**. - P. 95-98.
14. Kishi T., Hirooka Y., Sakai K. et al. Overexpression of eNOS in the RVLM causes hypertension and bradycardia via GABA release// Hypertension. - 2001. - **38**. - P. 896-904.